

MICROZONAZIONE SISMICA

Sezioni geologico- Tecniche con indicazione zona MOPS

Tavola G. 06 Londa

Regione Toscana
Comune di Londa (FI)

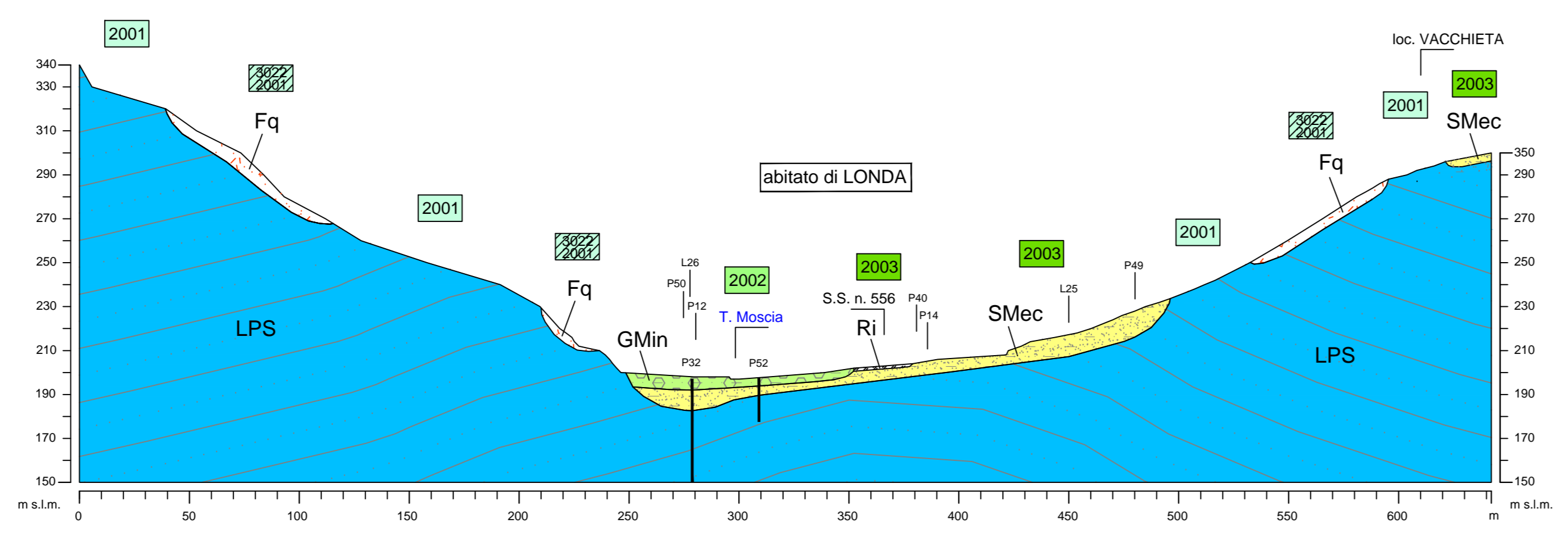


Regione	Soggetto realizzatore:	Data
Regione Toscana - Settori Sismica	Comune di Londa, Servizio Assetto del Territorio Geom. Franco Petralia Professionisti incaricati: Dott. Geol. Enzo Aruffo Dott. Geol. Gabriele Grandi Dott. Geol. Cristina Pavan Dott. Geol. Francesco Niccoli	Dicembre 2021

SEZIONI GEOLOGICO-TECNICHE CON INDICAZIONE ZONE MOPS

Scala 1:2.000

Sezione A-A'



Depositi correlati ad instabilità di versante

Frana quiescente
peso di volume $\gamma = 19.5 \text{ kN/m}^3$
velocità onde S $V_s = 435.0 \text{ m/s}$
velocità onde P $V_p = 1040.0 \text{ m/s}$
coefficiente di Poisson $\nu = 0.37$

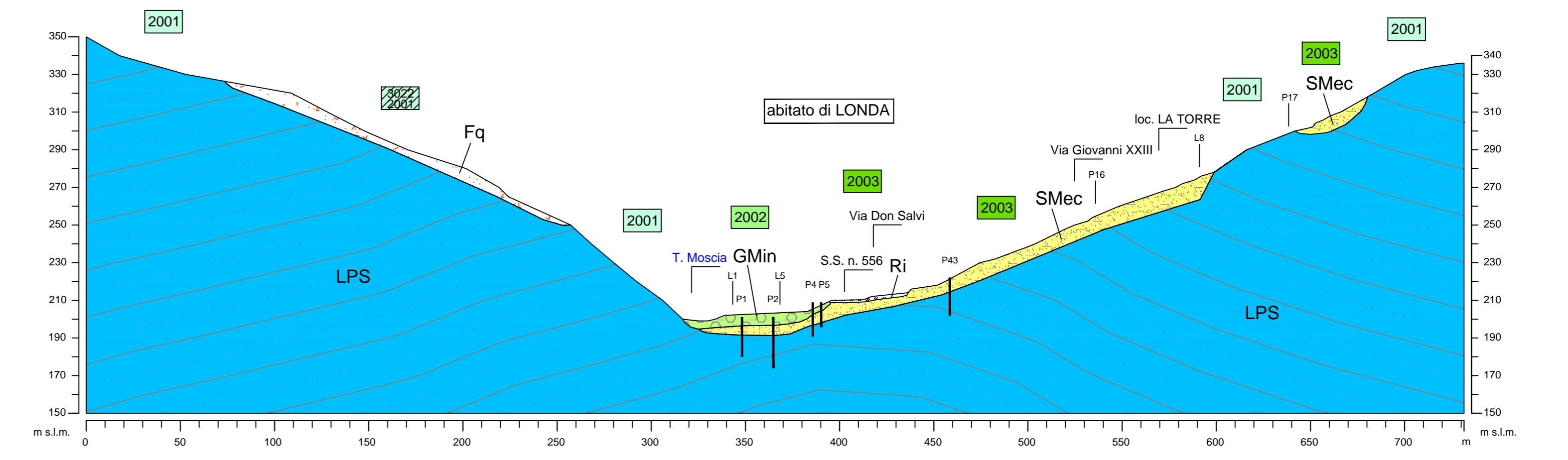
Terreni di copertura

- RI - Terreni di riporto antropico**
- GM - Ghiaie limose, miscela di ghiaia, sabbia e limo (depositi alluvionali)**
peso di volume $\gamma = 20.0 \text{ kN/m}^3$
velocità onde S $V_s = 345.0 \text{ m/s}$
velocità onde P $V_p = 725.0 \text{ m/s}$
coefficiente di Poisson $\nu = 0.36$
- SM - Sabbie limose, miscela di sabbia e limo (depositi detritici, eluvio-colluviali e coltre altertica)**
peso di volume $\gamma = 19.0 \text{ kN/m}^3$
velocità onde S $V_s = 530.0 \text{ m/s}$
velocità onde P $V_p = 1450.0 \text{ m/s}$
coefficiente di Poisson $\nu = 0.45$

Substrato geologico

LPS - Lapideo, stratificato
peso di volume $\gamma = 22.5 \text{ kN/m}^3$
velocità onde S $V_s = 1175.0 \text{ m/s}$
velocità onde P $V_p = 2615.0 \text{ m/s}$
coefficiente di Poisson $\nu = 0.30$

Sezione B-B'



Depositi correlati ad instabilità di versante

Frana quiescente
peso di volume $\gamma = 19.5 \text{ kN/m}^3$
velocità onde S $V_s = 435.0 \text{ m/s}$
velocità onde P $V_p = 1040.0 \text{ m/s}$
coefficiente di Poisson $\nu = 0.37$

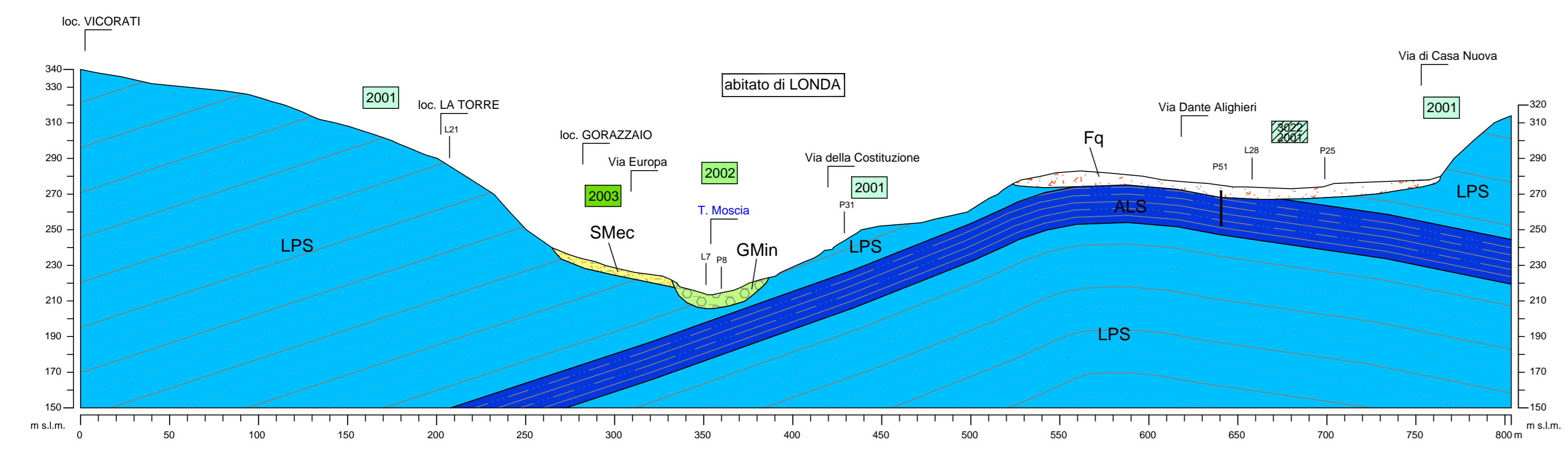
Terreni di copertura

- RI - Terreni di riporto antropico**
- GM - Ghiaie limose, miscela di ghiaia, sabbia e limo (depositi alluvionali)**
peso di volume $\gamma = 20.0 \text{ kN/m}^3$
velocità onde S $V_s = 220.0 \text{ m/s}$
velocità onde P $V_p = 510.0 \text{ m/s}$
coefficiente di Poisson $\nu = 0.36$
- SM - Sabbie limose, miscela di sabbia e limo (depositi detritici, eluvio-colluviali e coltre altertica)**
peso di volume $\gamma = 19.0 \text{ kN/m}^3$
velocità onde S $V_s = 495.0 \text{ m/s}$
velocità onde P $V_p = 1260.0 \text{ m/s}$
coefficiente di Poisson $\nu = 0.45$

Substrato geologico

LPS - Lapideo, stratificato
peso di volume $\gamma = 22.5 \text{ kN/m}^3$
velocità onde S $V_s = 1310.0 \text{ m/s}$
velocità onde P $V_p = 3315.0 \text{ m/s}$
coefficiente di Poisson $\nu = 0.30$

Sezione C-C'



Depositi correlati ad instabilità di versante

Frana quiescente
peso di volume $\gamma = 19.5 \text{ kN/m}^3$
velocità onde S $V_s = 435.0 \text{ m/s}$
velocità onde P $V_p = 1040.0 \text{ m/s}$
coefficiente di Poisson $\nu = 0.37$

Terreni di copertura

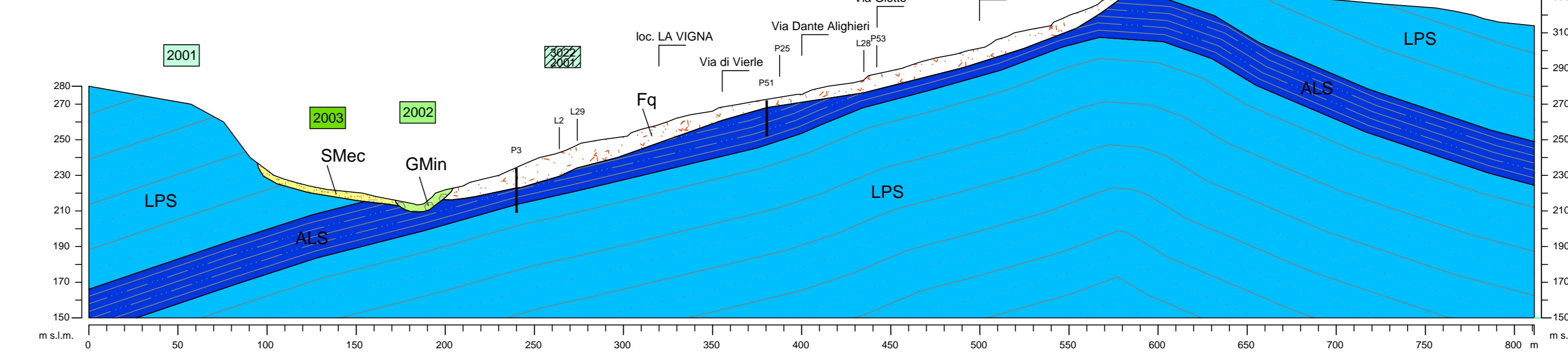
- GM - Ghiaie limose, miscela di ghiaia, sabbia e limo (depositi alluvionali)**
peso di volume $\gamma = 20.0 \text{ kN/m}^3$
velocità onde S $V_s = 430.0 \text{ m/s}$
velocità onde P $V_p = 775.0 \text{ m/s}$
coefficiente di Poisson $\nu = 0.36$
- SM - Sabbie limose, miscela di sabbia e limo (depositi detritici, eluvio-colluviali e coltre altertica)**
peso di volume $\gamma = 19.0 \text{ kN/m}^3$
velocità onde S $V_s = 495.0 \text{ m/s}$
velocità onde P $V_p = 1260.0 \text{ m/s}$
coefficiente di Poisson $\nu = 0.45$

Substrato geologico

LPS - Lapideo, stratificato
peso di volume $\gamma = 22.5 \text{ kN/m}^3$
velocità onde S $V_s = 1290.0 \text{ m/s}$
velocità onde P $V_p = 2965.0 \text{ m/s}$
coefficiente di Poisson $\nu = 0.30$

ALS - Alternanza di litotipi, stratificato
peso di volume $\gamma = 21.0 \text{ kN/m}^3$
velocità onde S $V_s = 695.0 \text{ m/s}$
velocità onde P $V_p = 1445.0 \text{ m/s}$
coefficiente di Poisson $\nu = 0.33$

Sezione E-E'



Depositi correlati ad instabilità di versante

Frana quiescente
peso di volume $\gamma = 19.5 \text{ kN/m}^3$
velocità onde S $V_s = 435.0 \text{ m/s}$
velocità onde P $V_p = 1040.0 \text{ m/s}$
coefficiente di Poisson $\nu = 0.37$

Terreni di copertura

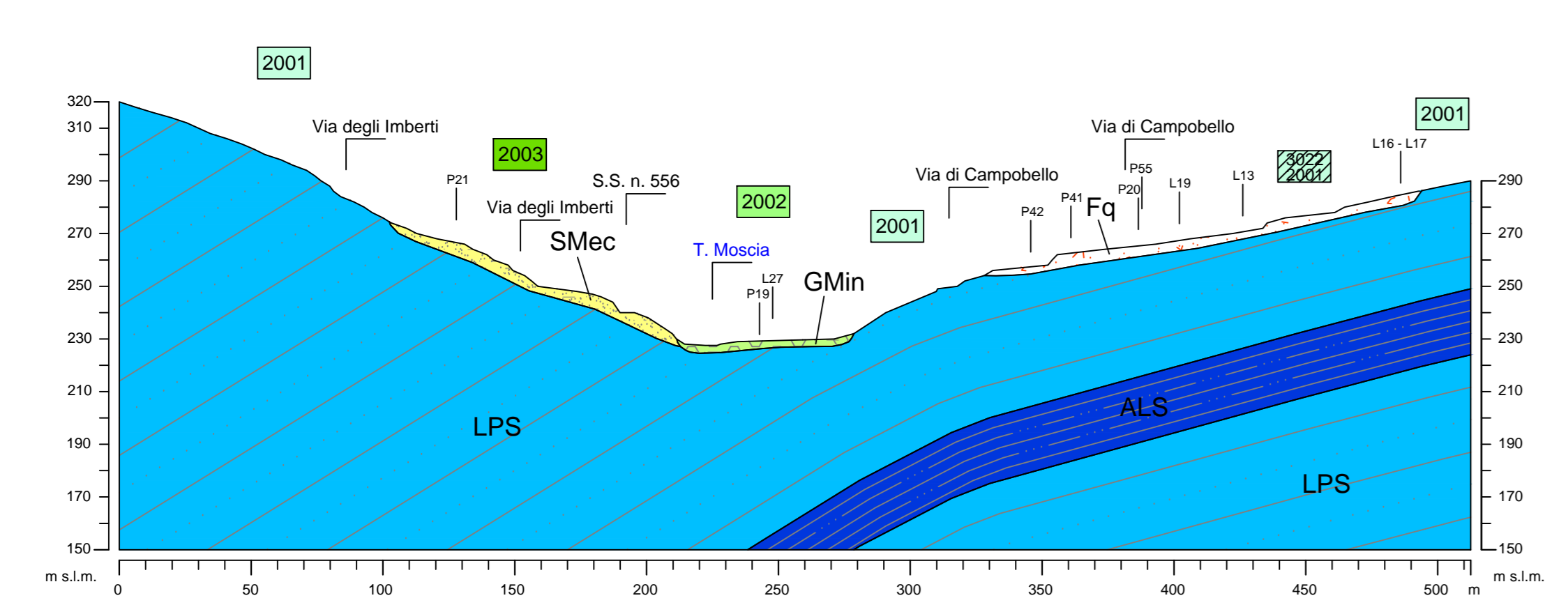
- GM - Ghiaie limose, miscela di ghiaia, sabbia e limo (depositi alluvionali)**
peso di volume $\gamma = 20.0 \text{ kN/m}^3$
velocità onde S $V_s = 220.0 \text{ m/s}$
velocità onde P $V_p = 510.0 \text{ m/s}$
coefficiente di Poisson $\nu = 0.36$
- SM - Sabbie limose, miscela di sabbia e limo (depositi detritici, eluvio-colluviali e coltre altertica)**
peso di volume $\gamma = 19.0 \text{ kN/m}^3$
velocità onde S $V_s = 495.0 \text{ m/s}$
velocità onde P $V_p = 1260.0 \text{ m/s}$
coefficiente di Poisson $\nu = 0.45$

Substrato geologico

LPS - Lapideo, stratificato
peso di volume $\gamma = 22.5 \text{ kN/m}^3$
velocità onde S $V_s = 1150.0 \text{ m/s}$
velocità onde P $V_p = 2625.0 \text{ m/s}$
coefficiente di Poisson $\nu = 0.30$

ALS - Alternanza di litotipi, stratificato
peso di volume $\gamma = 21.0 \text{ kN/m}^3$
velocità onde S $V_s = 695.0 \text{ m/s}$
velocità onde P $V_p = 1445.0 \text{ m/s}$
coefficiente di Poisson $\nu = 0.33$

Sezione D-D'



Depositi correlati ad instabilità di versante

Frana quiescente
peso di volume $\gamma = 19.5 \text{ kN/m}^3$
velocità onde S $V_s = 435.0 \text{ m/s}$
velocità onde P $V_p = 1040.0 \text{ m/s}$
coefficiente di Poisson $\nu = 0.37$

Terreni di copertura

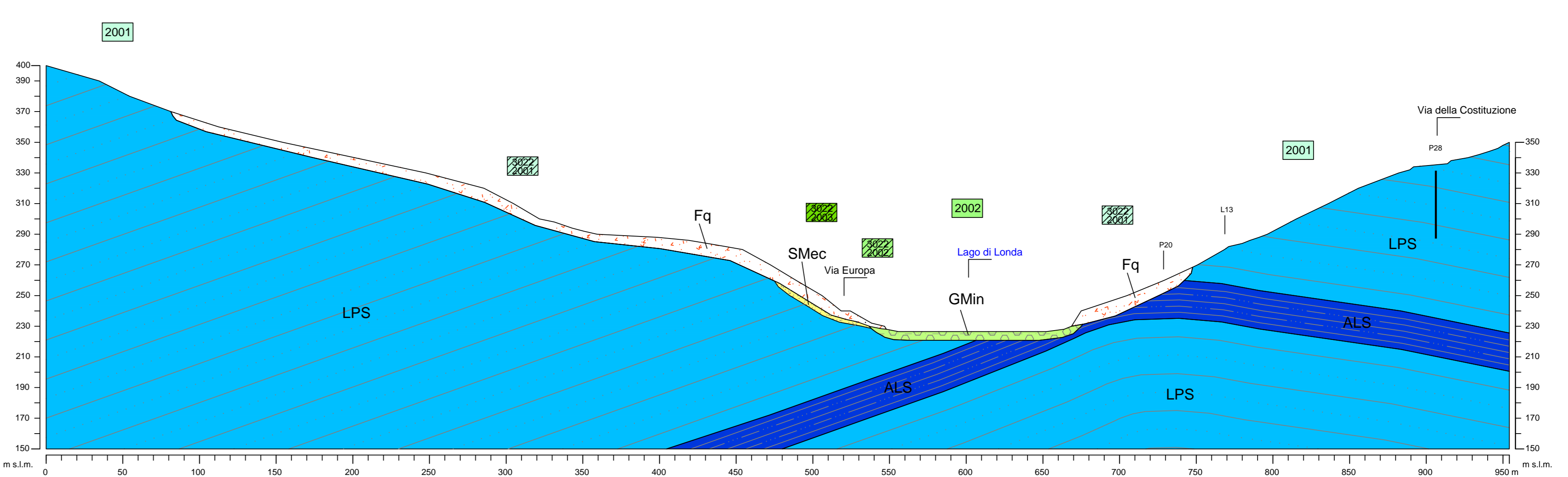
- GM - Ghiaie limose, miscela di ghiaia, sabbia e limo (depositi alluvionali)**
peso di volume $\gamma = 20.0 \text{ kN/m}^3$
velocità onde S $V_s = 441.0 \text{ m/s}$
velocità onde P $V_p = 858.0 \text{ m/s}$
coefficiente di Poisson $\nu = 0.36$
- SM - Sabbie limose, miscela di sabbia e limo (depositi detritici, eluvio-colluviali e coltre altertica)**
peso di volume $\gamma = 19.0 \text{ kN/m}^3$
velocità onde S $V_s = 495.0 \text{ m/s}$
velocità onde P $V_p = 1260.0 \text{ m/s}$
coefficiente di Poisson $\nu = 0.45$

Substrato geologico

LPS - Lapideo, stratificato
peso di volume $\gamma = 22.5 \text{ kN/m}^3$
velocità onde S $V_s = 1300.0 \text{ m/s}$
velocità onde P $V_p = 2935.0 \text{ m/s}$
coefficiente di Poisson $\nu = 0.30$

ALS - Alternanza di litotipi, stratificato
peso di volume $\gamma = 21.0 \text{ kN/m}^3$
velocità onde S $V_s = 695.0 \text{ m/s}$
velocità onde P $V_p = 1445.0 \text{ m/s}$
coefficiente di Poisson $\nu = 0.33$

Sezione F-F'



Depositi correlati ad instabilità di versante

Frana quiescente
peso di volume $\gamma = 19.5 \text{ kN/m}^3$
velocità onde S $V_s = 435.0 \text{ m/s}$
velocità onde P $V_p = 1040.0 \text{ m/s}$
coefficiente di Poisson $\nu = 0.37$

Terreni di copertura

- GM - Ghiaie limose, miscela di ghiaia, sabbia e limo (depositi alluvionali)**
peso di volume $\gamma = 20.0 \text{ kN/m}^3$
velocità onde S $V_s = 435.0 \text{ m/s}$
velocità onde P $V_p = 815.0 \text{ m/s}$
coefficiente di Poisson $\nu = 0.36$
- SM - Sabbie limose, miscela di sabbia e limo (depositi detritici, eluvio-colluviali e coltre altertica)**
peso di volume $\gamma = 19.0 \text{ kN/m}^3$
velocità onde S $V_s = 495.0 \text{ m/s}$
velocità onde P $V_p = 1260.0 \text{ m/s}$
coefficiente di Poisson $\nu = 0.45$

Substrato geologico

LPS - Lapideo, stratificato
peso di volume $\gamma = 22.5 \text{ kN/m}^3$
velocità onde S $V_s = 1295.0 \text{ m/s}$
velocità onde P $V_p = 2950.0 \text{ m/s}$
coefficiente di Poisson $\nu = 0.30$

ALS - Alternanza di litotipi, stratificato
peso di volume $\gamma = 21.0 \text{ kN/m}^3$
velocità onde S $V_s = 695.0 \text{ m/s}$
velocità onde P $V_p = 1445.0 \text{ m/s}$
coefficiente di Poisson $\nu = 0.33$